_____ ФИЗИЧЕСКИЕ СВОЙСТВА ____ КРИСТАЛЛОВ

УЛК 534-16+534.242

ВЫРОЖДЕННЫЕ ОТРАЖЕНИЯ В АКУСТИКЕ ТВЕРДЫХ ТЕЛ. І. ИЗОТРОПНЫЕ СРЕДЫ

© 2019 г. В. Н. Любимов^{1,*}

¹Институт кристаллографии им. А.В. Шубникова ФНИЦ "Кристаллография и фотоника" РАН, Москва, Россия *E-mail: lyubvn36@mail.ru

> Поступила в редакцию 13.02.2018 г. После доработки 13.02.2018 г. Принята к публикации 16.02.2018 г.

Описаны варианты отражений, при которых объемная акустическая волна в изотропном твердом теле, отражаясь от его границы с вакуумом, порождает лишь одну объемную волну. Данные вырожденные отражения реализуются как чистые, так и конверсионные. В первом случае падающая и отраженная волны принадлежат одной и той же акустической ветви, а во втором случае — разным.

DOI: 10.1134/S0023476119020206

ВВЕДЕНИЕ

Когда акустическая объемная волна в кристалле отражается от его границы с вакуумом, вследствие анизотропии упругих свойств возникают три отраженные волны. Отраженные волны возникают в следующих комбинациях: все три волны могут быть объемными; могут возникнуть две объемные волны вместе с сопутствующей, локализованной у границы; может возникнуть объемная волна в сопровождении двух локализованных.

Однако отраженных волн может быть меньше, чем три, если для этого обеспечить специальную геометрию распространения и подобрать падающую волну соответствующей поляризации. При этом отражение оказывается вырожденным. Такие отражения в кубических кристаллах рассматривались в [1, 2], а в гексагональных — в [3].

Исследованы также варианты отражений, при которых падающая волна порождает объемную волну, близкую к собственной моде, — особой объемной волне. При этом в условиях близости отраженной волны к поверхности кристалла удается сконцентрировать всю энергию падающей волны в узком отраженном пучке, которому сопутствует лишь одна локализованная у поверхности волна. Резонансное отражение становится вырожденным [4—6].

Вне связи с резонансами общая теория отражений в кристаллах произвольной симметрии развита в [7-11].

Для любого кристалла при стремлении упругой анизотропии к нулю возникает один и тот же универсальный предел, отвечающий изотропному телу. Вырожденные отражения в этом пределе сохраняются, их касались, в частности, в [12—15]. До-

полняя эти сведения с общих позиций, приведем полное описание и классификацию таких отражений.

СПЕЦИФИКА ОТРАЖЕНИЙ АКУСТИЧЕСКИХ ВОЛН В ИЗОТРОПНОЙ СРЕДЕ

Если вместо кристалла выступает изотропное тело, то отраженных волн даже в самом общем случае оказывается две, а не три, как в кристаллах. Это связано с тем, что в изотропном теле поперечные волны двух независимых поляризаций распространяются с одинаковыми скоростями — имеет место вырождение.

В изотропном теле при падении объемной волны на границу с вакуумом возникает несколько возможных вариантов отраженных волн: обе отраженные волны могут быть объемными; одна отраженная волна может быть объемной, а вторая локализованной у границы; может возникнуть лишь одна отраженная объемная волна. Реализуемость конкретного варианта и его особенности зависят от направления падающей волны и от той акустической ветви, к которой она принадлежит. Варьирование угла падения при этом позволяет выявить все ситуации, при которых отражение оказывается вырожденным - отражается лишь одна объемная волна. Если падающая и отраженная объемные волны принадлежат одной и той же акустической ветви - это случай чистого отражения. Если эти волны принадлежат разным акустическим ветвям, это - конверсионное отражение (иногда, по аналогии с оптикой, подобные отражения называют брюстеровскими [1-3, 14, 15]).

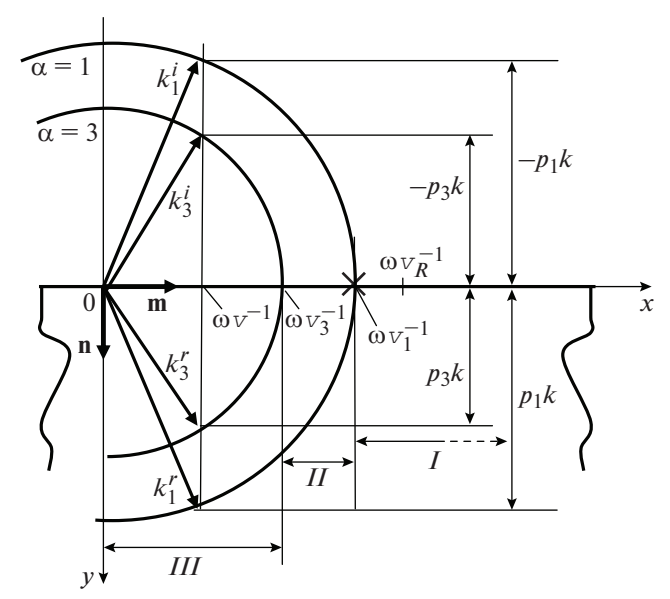


Рис. 1. Схемы вырожденных отражений от границы изотропного тела с вакуумом: конверсионные отражения — $(\mathbf{k}_1^i, \mathbf{A}_{1\parallel}^i) \to (\mathbf{k}_3^r, \mathbf{A}_3^r), \ (\mathbf{k}_3^i, \mathbf{A}_3^i) \to (\mathbf{k}_1^r, \mathbf{A}_{1\parallel}^r), \$ чистые — $(\mathbf{k}_1^i, \mathbf{A}_{1\parallel}^i) \to (\mathbf{k}_1^r, \mathbf{A}_{1\parallel}^r), \$ ($(\mathbf{k}_3^i, \mathbf{A}_3^i) \to (\mathbf{k}_3^r, \mathbf{A}_3^r).$ Точка, обозначенная крестом, отвечает особой объемной волне $(\mathbf{k}_1^r, \mathbf{k}_1^r) \to (\mathbf{k}_1^r, \mathbf{k}_1^r)$ объемной волне $(\mathbf{k}_1^r, \mathbf{k}_1^r) \to (\mathbf{k}_1^r, \mathbf{k}_1^r)$

Рассматривая различные варианты отражения, соотношения между падающими и отраженными волнами удобно анализировать, используя понятие поверхности медленностей [7]. В кристаллах это трехполостная поверхность, образованная концами волновых векторов объемных волн трех независимых поляризаций, когда эти векторы сканируют сферу всех возможных направлений распространения. В пределе перехода к изотропному телу эта поверхность становится двуполостной и представляет собой две концентрические сферы. Внешняя сфера отвечает поперечным, а внутренняя — продольным волнам. Сечение такой поверхности плоскостью падения (ху) представлено на рис. 1.

Ориентация границы твердого тела на рис. 1 задана единичным вектором нормали к ней \mathbf{n} , а направление распространения совокупного волнового поля вдоль поверхности — единичным вектором \mathbf{m} ($\mathbf{m} \perp \mathbf{n}$). На рис. 1 \mathbf{k}_{α}^i и \mathbf{k}_{α}^r — волновые векторы падающих и отраженных волн ветвей $\alpha=1, 3$. Соотношение между падающей и отраженными волнами зависит от угла падения $\psi_{\alpha}^i=\angle(\mathbf{k}_{\alpha}^i,\mathbf{m})$ или, что эквивалентно, от приведенной скорости распространения совокупного волнового поля $v=\omega/k$ (здесь ω — частота, $k=\mathbf{k}_{\alpha}^i\cdot\mathbf{m}=\mathbf{k}_{\alpha}^r\cdot\mathbf{m}$). Ветвь $\alpha=1$ отвечает поперечным волнам, распространяющимся со скоростью $v_1^2=c_{66}/\rho$ (здесь c_{66} — модуль упругости, ρ — плот-

ность кристалла). При этом волновому вектору $\mathbf{k_1}$ отвечают две независимые поляризации $\mathbf{A}_{1\parallel}\|(xy)$ и $\mathbf{A}_{1\perp}\perp(xy)$. Вектор поляризации $\mathbf{A}_1=\mathbf{A}_{1\parallel}\cos\phi+\mathbf{A}_{1\perp}\sin\phi$ ($\mathbf{A}_{1\parallel}^2=\mathbf{A}_{1\perp}^2=1$) свободно вращается при изменении параметра ϕ , оставаясь ортогональным волновому вектору \mathbf{k}_1 : $\mathbf{A}_1\perp\mathbf{k}_1$. Ветвь $\alpha=3$ отвечает продольным волнам ($\mathbf{A}_3\|\mathbf{k}_3$), распространяющимся со скоростью $v_3^2=c_{11}/\rho$.

Рассматривая волны ветвей $\alpha=1,\ 3,\$ отметим, что падающая объемная волна с параметрами $(\mathbf{k}_1^i,\mathbf{A}_{1\parallel}^i)$ или $(\mathbf{k}_3^i,\mathbf{A}_3^i)$ порождает две отраженные волны с параметрами $(\mathbf{k}_1^r,\ \mathbf{A}_{1\parallel}^r)$ и $(\mathbf{k}_3^r,\ \mathbf{A}_3^r)$ [7, 12, 13] — рис. 1. При отражениях волн этих ветвей в континуальной области III $(0 < v^{-1} \le v_3^{-1})$ обе отраженные волны объемные, а в области $II(v_3^{-1} < v^{-1} \le v_1^{-1})$ одна из отраженных волн $(\mathbf{k}_1^r,\mathbf{A}_{1\parallel}^r)$ объемная, а вторая $(\mathbf{k}_3^r,\mathbf{A}_3^r)$ — локализованная у границы кристалла. В то же время падающая волна ветви $\alpha=1$ с параметрами $(\mathbf{k}_1^i,\mathbf{A}_{1\perp}^i)$ порождает в объединенной области II-II $(0 < v^{-1} \le v_1^{-1})$ лишь одну отраженную волну $(\mathbf{k}_1^r,\mathbf{A}_{1\perp}^r)$. Этот вариант изначально отвечает чистому отражению при любом угле падения.

Цель дальнейшего рассмотрения — описать условия, при которых объемная волна с параметрами $(\mathbf{k}_1^i, \mathbf{A}_{1\parallel}^i)$ или $(\mathbf{k}_3^i, \mathbf{A}_3^i)$ порождает лишь одну объемную волну — либо $(\mathbf{k}_1^r, \mathbf{A}_{1\parallel}^r)$, либо $(\mathbf{k}_3^r, \mathbf{A}_3^r)$. Здесь возникают варианты конверсионных отражений $(\mathbf{k}_1^i, \mathbf{A}_{1\parallel}^i) \to (\mathbf{k}_3^r, \mathbf{A}_3^r)$ и $(\mathbf{k}_3^i, \mathbf{A}_3^i) \to (\mathbf{k}_1^r, \mathbf{A}_{1\parallel}^r)$, а также варианты чистых отражений $(\mathbf{k}_1^i, \mathbf{A}_{1\parallel}^i) \to (\mathbf{k}_1^r, \mathbf{A}_{1\parallel}^r)$ и $(\mathbf{k}_3^i, \mathbf{A}_3^i) \to (\mathbf{k}_3^r, \mathbf{A}_3^r)$ — рис. 1. Такие отражения могут быть реализованы при конкретных значениях угла падения. Далее будет рассмотрена реализуемость этих вариантов.

СОВОКУПНОЕ ВОЛНОВОЕ ПОЛЕ ПРИ ОТРАЖЕНИЯХ

Выпишем основные характеристики парциальных волн, участвующих в рассматриваемых отражениях. Волновые векторы $(\mathbf{k}_{1,3}^{i,r})$, нормированные амплитуды $(\mathbf{A}_{1\parallel}^{i,r}, \mathbf{A}_{1\perp}^{i,r}, \mathbf{A}_{3}^{i,r})$, векторы механических сил $(\mathbf{L}_{1\parallel}^{i,r}, \mathbf{L}_{1\perp}^{i,r}, \mathbf{L}_{3}^{i,r})$, создаваемых данными волнами, а также углы падения и отражения $\psi_{1,3}^{i,r}$ функции модулей упругости и приведенной скорости v записываются в виде:

$$\mathbf{k}_{1}^{i,r} = (1, \mp p_{1}, 0)k,$$

$$\mathbf{A}_{1\parallel}^{i,r} = (\pm p_{1}, 1, 0)v_{1}/v, \quad \mathbf{A}_{1\perp}^{i,r} = (0, 0, 1),$$

$$\mathbf{L}_{1\parallel}^{i,r} \| (2c_{66} - \rho v^{2}, \mp 2c_{66}p_{1}, 0)v_{1}/v, \qquad (1)$$

$$\mathbf{L}_{1\perp}^{i,r} \| (0, \mp 2c_{66}p_{1}, 0), \quad \psi_{1}^{i,r} = \mp \operatorname{arctg}(p_{1}),$$

$$p_{1}(v^{2}) = \sqrt{v^{2}/v_{1}^{2} - 1}, \quad v_{1}^{2} = c_{66}/\rho.$$

$$\mathbf{k}_{3}^{i,r} = (1, \mp p_{3}, 0)k,$$

$$\mathbf{A}_{3}^{i,r} = (1, \mp p_{3}, 0)v_{3}/v,$$

$$\mathbf{L}_{3}^{i,r} \| (\mp 2c_{66}p_{3}, \rho v^{2} - 2c_{66}, 0)v_{3}/v, \qquad (2)$$

$$\psi_{3}^{i,r} = \mp \operatorname{arctg}(p_{3}),$$

$$p_{3}(v^{2}) = \sqrt{v^{2}/v_{3}^{2} - 1}, \quad v_{3}^{2} = c_{11}/\rho.$$

В этих соотношениях предполагается, что все парциальные волны объемные. Это справедливо для области III, в которой параметры p_1 и p_3 вещественны — рис. 1. В областях II и I параметр p_3 становится мнимым ($p_3 = iq_3, \ q_3 > 0$), а в области I мнимым оказывается и параметр p_1 ($p_1 = iq_1, \ q_1 > 0$). Во всех этих случаях, очевидно, в (1), (2) следует провести замену $\mathbf{k}_{1,3}^r \to \mathbf{k}_{1,3} = (1, \ iq_{1,3}, \ 0)k$ и сделать соответствующие изменения в остальных параметрах: $+p_{1,3} \to iq_{1,3}$.

Падающая и отраженные волны формируют совокупное волновое поле, зависящее от координат и времени t:

$$\mathbf{u}(x, y, t) = \mathbf{A}(y) \exp[ik(x - vt)]. \tag{3}$$

Здесь $y \ge 0$, $-\infty \le x \le \infty$, а векторная амплитуда общего волнового поля определяется амплитудами отдельных парциальных волн:

$$\mathbf{A}(y) = \begin{cases} C_{1\parallel}^{i} \mathbf{A}_{1\parallel}^{i} \exp(-ikp_{1}y) \\ C_{3}^{i} \mathbf{A}_{3}^{i} \exp(-ikp_{3}y) \end{cases} + \\ + C_{1\parallel}^{r} \mathbf{A}_{1\parallel}^{r} \exp(ikp_{1}y) + \\ + C_{3}^{r} \mathbf{A}_{3}^{r} \exp(ikp_{3}y), \\ C_{1\perp}^{i} \mathbf{A}_{1\perp}^{i} \exp(-ikp_{1}y) + \\ + C_{1\perp}^{r} \mathbf{A}_{1\perp}^{r} \exp(ikp_{1}y). \end{cases}$$
(4)

Здесь $C_{\alpha}^{i,r}$ — амплитудные коэффициенты, соотношения между которыми определяются из граничных условий.

коэффициенты отражения

Условия механической свободы границы среды при падении на нее объемных волн различных поляризаций можно представить в следующей форме:

$$\mathbf{L}_{1||}^{i}C_{1||}^{i} + \mathbf{L}_{1||}^{r}C_{1||}^{i} + \mathbf{L}_{3}^{r}C_{3}^{i} = 0,
\mathbf{L}_{3}^{i}C_{3}^{i} + \mathbf{L}_{1||}^{r}C_{1||}^{i} + \mathbf{L}_{3}^{r}C_{3}^{i} = 0.$$
(5)

Конкретизируя эти соотношения, имеем

$$\begin{pmatrix}
2c_{66} - \rho v^{2} & 2c_{66}p_{3} \\
2c_{66}p_{1} & \rho v^{2} - 2c_{66}
\end{pmatrix}
\begin{pmatrix}
C_{1\parallel}^{r}v_{1} \\
C_{3}^{r}v_{3}
\end{pmatrix} =$$

$$= -\begin{cases}
\begin{pmatrix}
2c_{66} - \rho v^{2} \\
-2c_{66}p_{1}
\end{pmatrix}
C_{1\parallel}^{i}v_{1}, \\
\begin{pmatrix}
-2c_{66}p_{3} \\
\rho v^{2} - 2c_{66}
\end{pmatrix}
C_{3}^{i}v_{3},$$

$$2c_{66}p_{1}C_{1\perp}^{r} = 2c_{66}p_{1}C_{1\perp}^{i}.$$
(6)

Отсюда вытекают следующие выражения для коэффициентов отражения:

$$\frac{C'_{1\parallel}}{C_{1\parallel}^{i}} \equiv R_{11}^{\parallel} = \frac{C'_{3}}{C_{3}^{i}} \equiv R_{33} = -\frac{f_{-}}{f_{+}},$$

$$\frac{C'_{3}}{C_{1\parallel}^{i}} = R_{31}^{\parallel} = \frac{4c_{66}p_{1}v_{1}}{f_{+}v_{3}}g,$$

$$\frac{C'_{1\parallel}}{C_{3}^{i}} = R_{13}^{\parallel} = \frac{-4c_{66}p_{3}v_{3}}{f_{+}v_{1}}g,$$

$$\frac{C'_{1\perp}}{C_{1\perp}^{i}} \equiv R_{11}^{\perp} \equiv 1.$$
(7)

В этих выражениях введены функции

$$f_{\pm}(v^2) = g^2 \pm 4c_{66}^2 p_1 p_3,$$

$$g(v^2) = \rho v^2 - 2c_{66}.$$
(8)

Здесь параметры $p_{1,3}(v^2)$ определены в (1), (2).

Знание коэффициентов отражения (7) упрощает дальнейший анализ отражений различных типов.

КОНВЕРСИОННЫЕ ОТРАЖЕНИЯ

При конверсионных отражениях падающая и отраженная волны принадлежат разным акустическим ветвям, так что в (7) R_{13}^{\parallel} , $R_{31}^{\parallel} \neq 0$, в то время как $R_{11}^{\parallel} = R_{33}^{\parallel} = 0$. Отсюда следует

$$f_{-}(v^2) = 0. (9)$$

Здесь функция $f_{-}(v^2)$ задана в (8). После освобождения от иррациональностей соотношение (9) сводится к бикубическому уравнению

$$\xi^{6} - 8\xi^{4} + 8(3 - 2x)\xi^{2} - 16(1 - x) = 0,$$

$$\kappa = c_{66}/c_{11}, \quad \xi^{2} = \rho v^{2}/c_{66}.$$
(10)

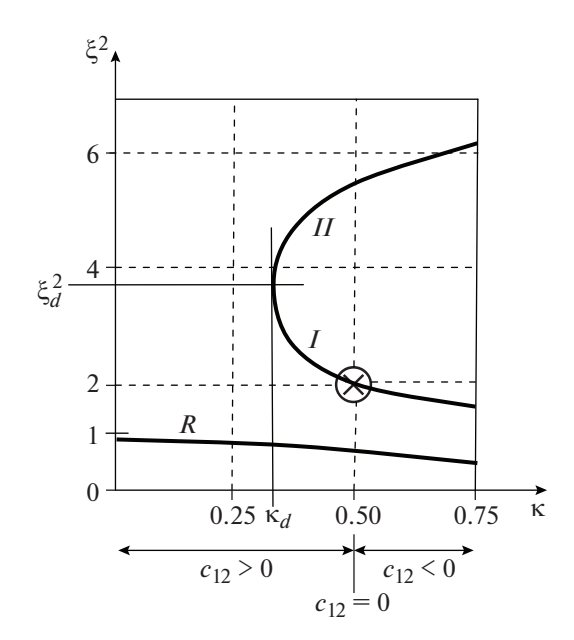


Рис. 2. Дисперсионные кривые конверсионных отражений (*I, II*) и рэлеевской волны (*R*) в изотропном теле. Здесь $\varkappa=c_{66}/c_{11},\ \xi^2=\rho v^2/c_{66},\ (\varkappa_d\approx 0.321,\ \xi_d^2\approx 3.6).$ Точка, обозначенная символом $\otimes\ (\rho v^2=2c_{66}=c_{11}),$ отвечает чистому отражению поперечных волн: $\mathbf{k}_{|||}^{i,r}\|(1,\mp 1,0),\ \mathbf{A}_{|||}^{i,r}\|(\pm 1,1,0)$ и продольной особой объемной волне: $\mathbf{k}_3\|\mathbf{A}_3=\mathbf{m}$.

Это выражение совпадает с классическим уравнением, один из корней которого отвечает скорости рэлеевской волны [7, 12, 13]. Данный корень удовлетворяет уравнению

$$f_{+}(v^{2}) = 0, (11)$$

в котором $p_{\mathrm{l,3}}=iq_{\mathrm{l,3}},~q_{\mathrm{l,3}}>0\,,$ что реализуется в области І. Существенно, что, несмотря на отличие от уравнения (9), соотношение (11) после освобождения от иррациональностей также сводится к (10). Таким образом, уравнение (10) одновременно описывает как конверсионные отражения, так и рэлеевские волны. Положительные корни $\xi_I^2, \xi_{II}^2 > 1$ отвечают конверсионным отражениям, а корень $0 < \xi_R^2 < 1$ — рэлеевской волне (рис. 1, 2). Корни ξ_I^2 и ξ_{II}^2 при этом попадают в область III. Конверсионные отражения возникают, если модули упругости кристалла удовлетворяют условию $\kappa = c_{66}/c_{11} \ge \kappa_d \approx 0.321$. Каждому значению величины \varkappa ($\varkappa > \varkappa_d$) отвечают два различных значения ξ_I^2 и ξ_{II}^2 (при $\varkappa < \varkappa_d$ эти параметры комплексно-сопряженные). В свою очередь каждому из параметров ξ_I^2 и ξ_I^2 соответствуют два конверсионных отражения $-(\mathbf{k}_1^i, \mathbf{A}_{1||}^i) \rightarrow (\mathbf{k}_3^r, \mathbf{A}_3^r)$ и $(\mathbf{k}_3^i, \mathbf{A}_3^i) \rightarrow$

 \rightarrow (\mathbf{k}_{1}^{r} , $\mathbf{A}_{1\parallel}^{r}$) — рис. 1. В точке вырождения (\mathbf{z}_{d} , $\mathbf{\xi}_{d}^{2}$) корни $\mathbf{\xi}_{I}^{2}$ и $\mathbf{\xi}_{II}^{2}$ оказываются совпадающими: $\mathbf{\xi}_{d}^{2} = \mathbf{\xi}_{I}^{2} = \mathbf{\xi}_{II}^{2} \approx 3.6$.

ЧИСТЫЕ ОТРАЖЕНИЯ

При чистых отражениях падающая и отраженная волны принадлежат одной и той же акустической ветви. Так, падающая волна ветви $\alpha=1$ с параметрами $(\mathbf{k}_1^i, \mathbf{A}_{1\perp}^i)$ порождает в объединенной области III-II лишь одну отраженную волну $(\mathbf{k}_1^r, \mathbf{A}_{1\perp}^r)$ той же ветви $\alpha=1$. Для волн ветвей $\alpha=1$, 3 с параметрами $(\mathbf{k}_1^i, \mathbf{A}_{1\parallel}^i)$, $(\mathbf{k}_3^i, \mathbf{A}_3^i)$ возникает несколько вариантов, которые и рассмотрим далее.

Наклонное падение. Чистым отражениям отвечают соотношения $R_{11}^{\parallel},~R_{33}^{\parallel}\neq 0,~R_{13}^{\parallel}=R_{31}^{\parallel}=0,$ которые, согласно (7), будут удовлетворены при условии

$$g(v^2) = 0, (12)$$

где функция $g(v^2)$ определена в (8). Условие (12) будет удовлетворено, когда

$$\rho v_0^2 = 2c_{66}. (13)$$

Следовательно, при одной и той же скорости $v_0^2 = 2c_{66}/\rho$ чистые отражения должны одновременно реализоваться как в ветви $\alpha = 1$, так и в ветви $\alpha = 3$, когда соответственно

$$C_{1\parallel}^{i} = C_{1\parallel}^{r}, \quad p_{1} | v_{0} = 1,$$
 (14)

$$C_3^i = C_3^r, \quad p_3 | v_0 = \sqrt{-c_{12}/c_{11}}.$$
 (15)

Параметры поперечных волн, участвующих в чистом отражении, в соответствии с (14) задаются выражениями

$$\mathbf{k}_{1}^{i,r} \| (1, \mp 1, 0), \quad \mathbf{A}_{1\parallel}^{i,r} \| (\pm 1, 1, 0),$$

$$\mathbf{v}_{1}^{i,r} = \mp \operatorname{arctg}(1) = \mp \pi/4.$$
(16)

Как видим, имеют место наклонное падение и отражение объемных поперечных волн. Соответствующая точка на дисперсионных кривых, представленная на рис. 2 символом \otimes , отвечает частному случаю $\rho v_0^2 = 2c_{66} = c_{11}$. Это специальное соотношение между модулями упругости соответствует модельной среде, в которой $c_{12} = c_{11} - 2c_{66} = 0$.

Что касается чистых отражений продольных волн, то выражение $p_3 | v_0$ (15) может иметь смысл лишь при $c_{12} < 0$. Это не противоречит условиям устойчивости (0 < κ < 3/4), хотя выглядит достаточно экзотичным, а при $c_{12} > 0$ параметр $p_3 | v_0$

оказывается мнимым, что отвечает нефизическому решению.

Нормальное падение. При нормальном падении объемной волны на границу среды приведенная скорость v стремится к бесконечности: $v = (\omega/k)_{k\to 0} \to \infty$. При этом, как вытекает из соотношений (7) и (8), в соответствии с [12] имеем

$$R_{11}^{\parallel} = R_{33}^{\parallel} = -1, \quad R_{13}^{\parallel} = R_{31}^{\parallel} = 0,$$

 $C_{1\parallel}^{i} = -C_{1\parallel}^{r}, \quad C_{3}^{i} = -C_{3}^{r}.$ (17)

Отражение поперечных и продольных волн происходит совершенно независимо. Для параметров волн, участвующих в данных отражениях, справедливы выражения

$$\mathbf{k}_{1}^{i,r} \parallel \mp \mathbf{n}, \quad \mathbf{A}_{1\parallel}^{i,r} \parallel \pm \mathbf{m}, \\ \mathbf{k}_{3}^{i,r} \parallel \mp \mathbf{n}, \quad \mathbf{A}_{3\parallel}^{i,r} \parallel \mp \mathbf{n}.$$
 (18)

Как в случае поперечных, так и в случае продольных волн падающая и отраженная волны идут навстречу друг другу вдоль одного и того же направления. При этом возникают стоячие волны:

$$\mathbf{u}(y,t) = \begin{cases} C_{1\parallel}^{i} \mathbf{m} \cos[(\omega/v_{1})y] \\ C_{3}^{i} \mathbf{n} \cos[(\omega/v_{3})y] \end{cases} \exp(-i\omega t). \tag{19}$$

Особые объемные волны. При $v^2 = v_1^2 = c_{66}/\rho$, когда в формулах (1) $p_1 = 0$, происходит вырождение: $\mathbf{k}_1^i = \mathbf{k}_1^r = k\mathbf{m}$. При этом $\mathbf{L}_{1\perp}^i = \mathbf{L}_{1\perp}^r = 0$, хотя $C_{1\perp}^i = C_{1\perp}^r \neq 0$. В этом случае возникает собственное решение, описывающее особую объемную волну, поперечную, распространяющуюся строго вдоль поверхности со скоростью v_1 :

$$\mathbf{u}(x,t) = C_{11}^{i} \mathbf{A}_{11} \exp[ik(x - v_1 t)], \quad k = \omega/v_1.$$
 (20)

На рис. 1 точка, отвечающая этой волне, выделена крестом.

Кроме такой особой объемной волны может существовать вторая подобная волна — продольная [16]. Действительно, из соотношения (15) следует, что при $c_{12}=0$, когда $\rho v_0^2=2c_{66}=c_{11}$,

$$p_3 | v_0 = 0. (21)$$

Тогда из (2) вытекает $\mathbf{L}_3^i = \mathbf{L}_3^r = 0$, хотя при этом $C_3^i = C_3^r \neq 0$. Таким образом, в данном случае граничным условиям удовлетворяет собственное решение, имеющее вид

$$\mathbf{u}(x,t) = C_3^{i} \mathbf{m} \exp[ik(x - v_3 t)], k = \omega/v_3, \quad v_3 = \sqrt{c_{11}/\rho}.$$
 (22)

Соответствующая решению точка на дисперсионной кривой отмечена на рис. 2. Такая волна существует в модельном кристалле, в котором $c_{12}=0$.

ОБСУЖДЕНИЕ

Отметим, что в изотропном теле вектор поляризации поперечных волн $\mathbf{A}_1 = \mathbf{A}_{|||} \cos \phi + \mathbf{A}_{1\perp} \sin \phi$ при изменении параметра ϕ может иметь различную ориентацию. Рассмотренные чистые отражения волны с поляризацией $\mathbf{A}_{|||}$ при наклонном падении характеризуются приведенной скоростью $v_0^2 = 2c_{66}/\rho$ (13). Такое чистое отражение сохраняется и в более общем случае, когда вместо вектора $\mathbf{A}_{1||}$ выступает полный вектор $\mathbf{A}_1 = \mathbf{A}_{1||} \cos \phi + \mathbf{A}_{1\perp} \sin \phi$, поскольку отражение поперечной волны с вектором поляризации $\mathbf{A}_{1\perp}$ при любом угле падения является чистым: $\mathbf{R}_{11}^\perp \equiv 1$ (7).

С другой стороны, конверсионное отражение поперечной волны с вектором поляризации $\mathbf{A}_1 = \mathbf{A}_{||} \cos \phi + \mathbf{A}_{1\perp} \sin \phi$ оказывается невозможным, поскольку при отражении обязательно возникает отраженная компонента с вектором поляризации $\mathbf{A}_{1\perp}$.

Автор выражает благодарность В.И. Альшицу за ряд ценных замечаний.

Работа выполнена при поддержке Федерального агентства научных организаций (соглашение № 007- Γ 3/ Ψ 3363/26).

СПИСОК ЛИТЕРАТУРЫ

- 1. *Любимов В.Н.*, *Филиппов В.В.* // Акуст. журн. 1980. Т. 26. Вып. 2. С. 225.
- 2. Любимов В.Н., Филиппов В.В. // Изв. АН БССР. 1980. Вып. 5. С. 121.
- 3. *Любимов В.Н., Альшиц В.И.* // Кристаллография. 1982. Т. 27. Вып. 5. С. 851.
- 4. *Любимов В.Н.*, *Бессонов Д.А.*, *Альшиц В.И.* // Кристаллография. 2018. Т. 63. № 4. С. 593.
- Альшиц В.И., Бессонов Д.А., Любимов В.Н. // Письма в ЖЭТФ. 2017. Т. 106. Вып. 1. С. 45.
- 6. Альшиц В.И., Бессонов Д.А., Любимов В.Н. // ЖЭТФ. 2016. Т. 149. Вып. 4. С. 796.
- Федоров Ф.И. Теория упругих волн в кристаллах. М.: Наука, 1965. 388 с.
- 8. Alshits V.I., Lothe J. // Wave Motion. 1981. V. 3. P. 297.
- 9. Lothe J., Wang L. // Wave Motion. 1995. V. 21. P. 163.
- 10. Wang L., Lothe J. // Wave Motion. 1992. V. 16. P. 89.
- Gundersen S.A., Wang L., Lothe J. // Wave Motion. 1991. V. 14. P. 129.
- 12. *Ландау Л.Д., Лифшиц Е.М.* Теория упругости. М.: Наука, 1965. 204 с.
- Бреховских Л.М. Волны в слоистых средах. М.: Наука, 1973. 343 с.
- 14. *Викторов И.А.* // Докл. АН СССР. 1976. Т. 228. Вып. 3. С. 67.
- 15. *Викторов И.А.* // Акуст. журн. 1976. Т. 22. Вып. 5. С. 675.
- Любимов В.Н., Бессонов Д.А., Альшиц В.И. // Кристаллография. 2016. Т. 61. Вып. 3. С. 439.